

FIG. 1

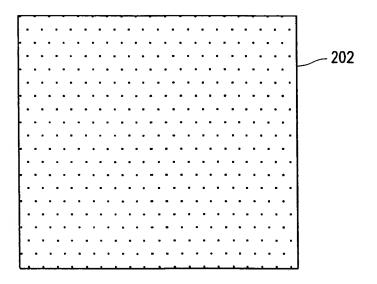


FIG. 2A

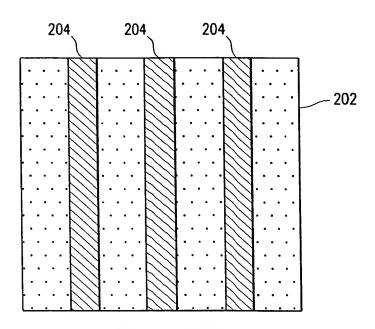
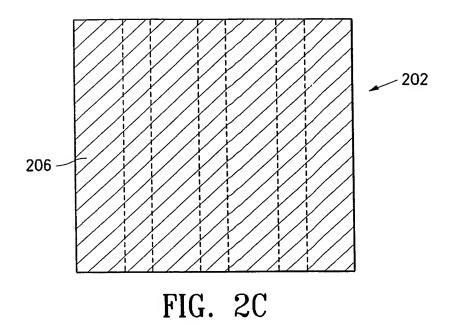
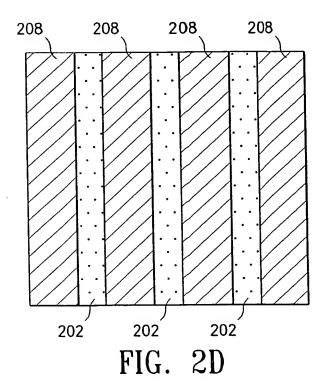


FIG. 2B





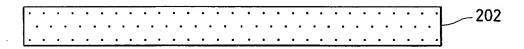


FIG. 3A

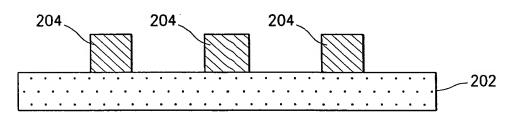


FIG. 3B

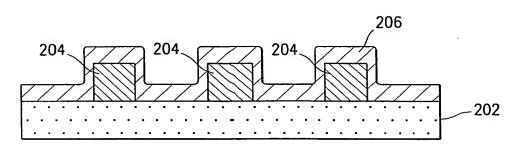


FIG. 3C

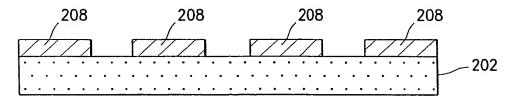


FIG. 3D

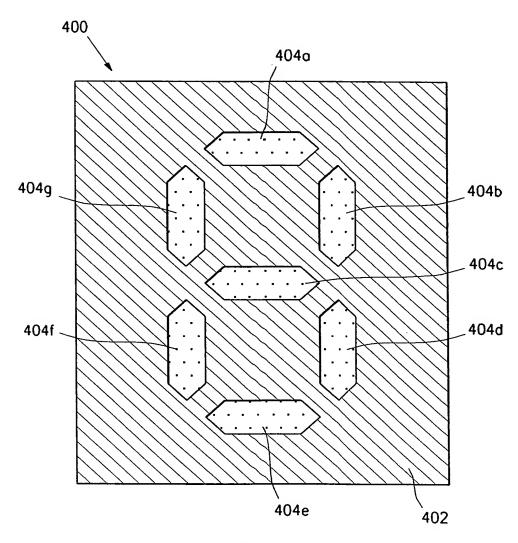


FIG. 4A

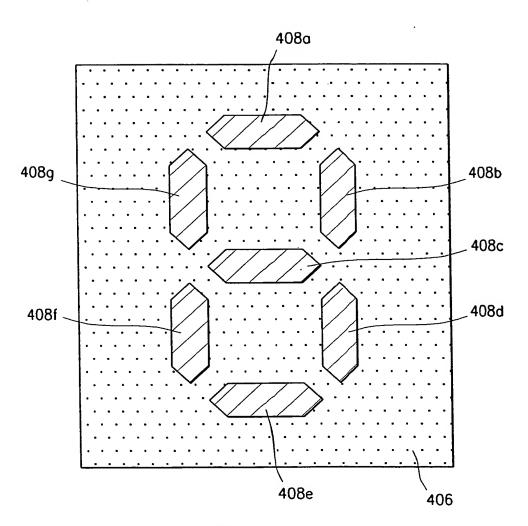
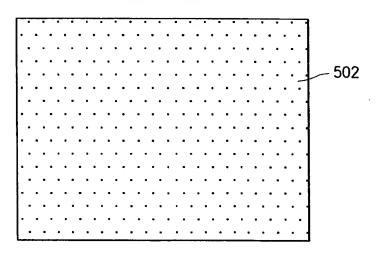


FIG. 4B

## TOP VIEW



## FIG. 5A-1

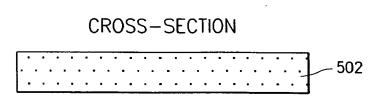


FIG. 5A-2

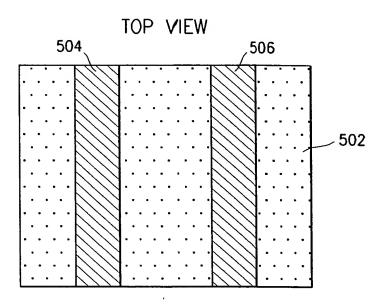


FIG. 5B-1

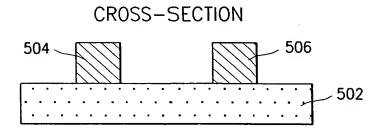


FIG. 5B-2

TOP VIEW

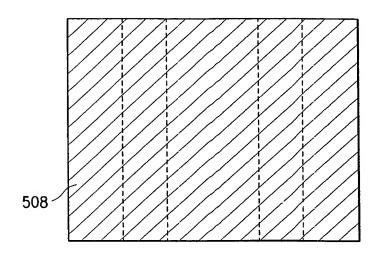


FIG. 5C-1

## CROSS-SECTION

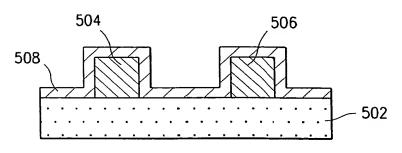


FIG. 5C-2

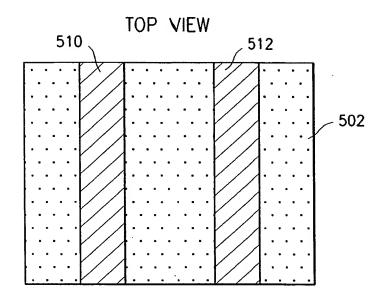


FIG. 5D-1

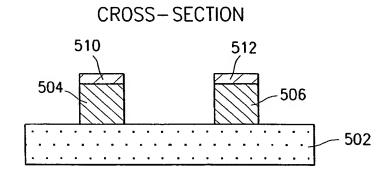


FIG. 5D-2

TOP VIEW

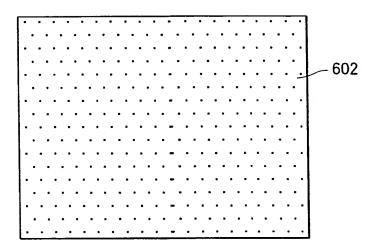


FIG. 6A-1

## CROSS-SECTION

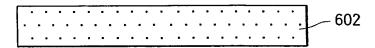


FIG. 6A-2

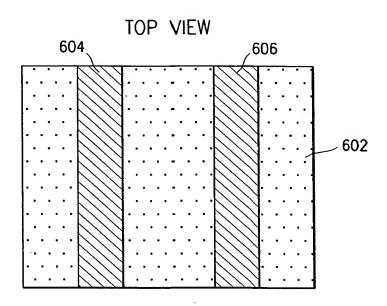


FIG. 6B-1

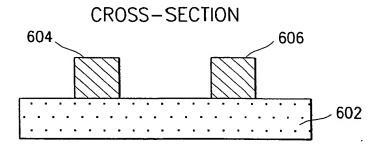
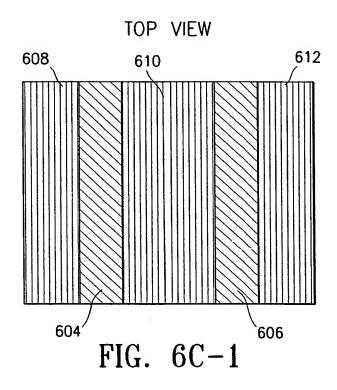
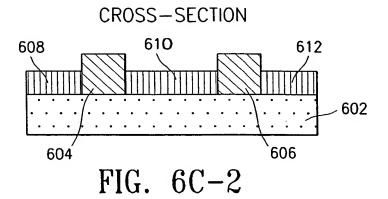
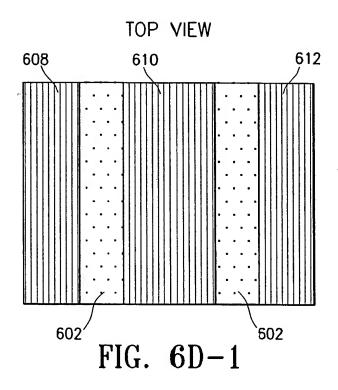


FIG. 6B-2







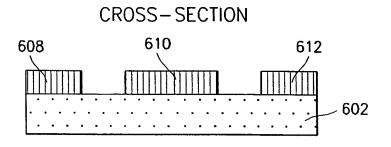


FIG. 6D-2

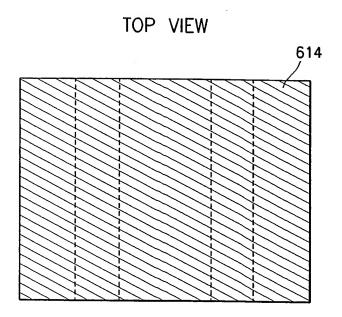


FIG. 6E-1

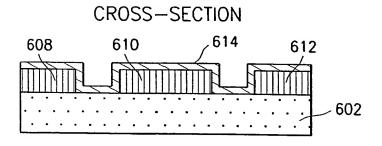


FIG. 6E-2

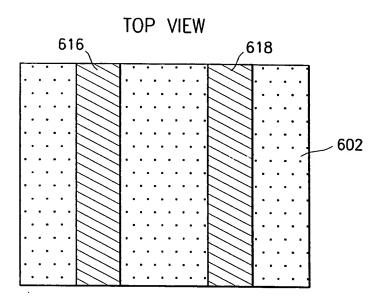


FIG. 6F-1

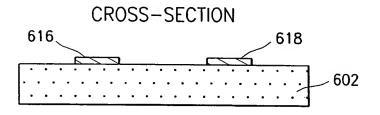


FIG. 6F-2